

Starkniederschlagshöhen und -spenden gemäß KOSTRA-DWD-2010R

Auswertungszeitraum von 1951 - 2010, Januar - Dezember

Rasterfeld: 41073

Zeile: 41

Spalte: 73

Seite: 1/2

| Dauerstufe D | Wiederkehrzeit T | | | | | | | | | | | | | | | | | | |
|--------------|------------------|------|------------|------|------------|------|------------|------|------------|------|------------|-------|------------|-------|------------|-------|------------|-------|------------|
| | 1 a | | 2 a | | 3 a | | 5 a | | 10 a | | 20 a | | 30 a | | 50 a | | 100 a | | |
| min | Std | mm | l / (s ha) | mm | l / (s ha) | mm | l / (s ha) | mm | l / (s ha) | mm | l / (s ha) | mm | l / (s ha) | mm | l / (s ha) | mm | l / (s ha) | mm | l / (s ha) |
| 5 | | 5,3 | 176,7 | 7,4 | 246,7 | 8,7 | 290,0 | 10,2 | 340,0 | 12,4 | 413,3 | 14,5 | 483,3 | 15,7 | 523,3 | 17,3 | 576,7 | 19,4 | 646,7 |
| 10 | | 8,5 | 141,7 | 11,2 | 186,7 | 12,8 | 213,3 | 14,7 | 245,0 | 17,4 | 290,0 | 20,1 | 335,0 | 21,7 | 361,7 | 23,7 | 395,0 | 26,4 | 440,0 |
| 15 | | 10,6 | 117,8 | 13,7 | 152,2 | 15,5 | 172,2 | 17,8 | 197,8 | 20,9 | 232,2 | 24,0 | 266,7 | 25,8 | 286,7 | 28,1 | 312,2 | 31,2 | 346,7 |
| 20 | | 12,1 | 100,8 | 15,5 | 129,2 | 17,5 | 145,8 | 20,1 | 167,5 | 23,5 | 195,8 | 26,9 | 224,2 | 28,9 | 240,8 | 31,4 | 261,7 | 34,9 | 290,8 |
| 30 | | 14,1 | 78,3 | 18,0 | 100,0 | 20,4 | 113,3 | 23,3 | 129,4 | 27,2 | 151,1 | 31,1 | 172,8 | 33,4 | 185,6 | 36,4 | 202,2 | 40,3 | 223,9 |
| 45 | | 15,9 | 58,9 | 20,4 | 75,6 | 23,0 | 85,2 | 26,4 | 97,8 | 30,9 | 114,4 | 35,5 | 131,5 | 38,1 | 141,1 | 41,5 | 153,7 | 46,0 | 170,4 |
| 60 | | 16,9 | 46,9 | 21,9 | 60,8 | 24,8 | 68,9 | 28,5 | 79,2 | 33,6 | 93,3 | 38,6 | 107,2 | 41,5 | 115,3 | 45,2 | 125,6 | 50,2 | 139,4 |
| 90 | | 18,6 | 34,4 | 24,4 | 45,2 | 27,7 | 51,3 | 32,0 | 59,3 | 37,7 | 69,8 | 43,4 | 80,4 | 46,8 | 86,7 | 51,0 | 94,4 | 56,8 | 105,2 |
| 120 | 2 | 20,0 | 27,8 | 26,3 | 36,5 | 30,0 | 41,7 | 34,6 | 48,1 | 41,0 | 56,9 | 47,3 | 65,7 | 51,0 | 70,8 | 55,6 | 77,2 | 62,0 | 86,1 |
| 180 | 3 | 22,0 | 20,4 | 29,2 | 27,0 | 33,5 | 31,0 | 38,8 | 35,9 | 46,1 | 42,7 | 53,3 | 49,4 | 57,5 | 53,2 | 62,9 | 58,2 | 70,1 | 64,9 |
| 240 | 4 | 23,6 | 16,4 | 31,6 | 21,9 | 36,2 | 25,1 | 42,1 | 29,2 | 50,1 | 34,8 | 58,0 | 40,3 | 62,7 | 43,5 | 68,6 | 47,6 | 76,5 | 53,1 |
| 360 | 6 | 26,0 | 12,0 | 35,1 | 16,3 | 40,5 | 18,8 | 47,2 | 21,9 | 56,3 | 26,1 | 65,4 | 30,3 | 70,8 | 32,8 | 77,5 | 35,9 | 86,6 | 40,1 |
| 540 | 9 | 28,7 | 8,9 | 39,1 | 12,1 | 45,2 | 14,0 | 52,9 | 16,3 | 63,4 | 19,6 | 73,8 | 22,8 | 80,0 | 24,7 | 87,7 | 27,1 | 98,1 | 30,3 |
| 720 | 12 | 30,7 | 7,1 | 42,2 | 9,8 | 49,0 | 11,3 | 57,4 | 13,3 | 69,0 | 16,0 | 80,5 | 18,6 | 87,2 | 20,2 | 95,7 | 22,2 | 107,2 | 24,8 |
| 1080 | 18 | 33,9 | 5,2 | 47,1 | 7,3 | 54,8 | 8,5 | 64,5 | 10,0 | 77,7 | 12,0 | 90,8 | 14,0 | 98,5 | 15,2 | 108,3 | 16,7 | 121,4 | 18,7 |
| 1440 | 24 | 36,3 | 4,2 | 50,8 | 5,9 | 59,3 | 6,9 | 70,0 | 8,1 | 84,5 | 9,8 | 99,0 | 11,5 | 107,5 | 12,4 | 118,2 | 13,7 | 132,7 | 15,4 |
| 2880 | 48 | 42,6 | 2,5 | 57,5 | 3,3 | 66,3 | 3,8 | 77,2 | 4,5 | 92,2 | 5,3 | 107,1 | 6,2 | 115,8 | 6,7 | 126,8 | 7,3 | 141,7 | 8,2 |
| 4320 | 72 | 46,8 | 1,8 | 62,0 | 2,4 | 70,8 | 2,7 | 82,0 | 3,2 | 97,2 | 3,8 | 112,3 | 4,3 | 121,2 | 4,7 | 132,3 | 5,1 | 147,5 | 5,7 |

Angaben in mm: Bemessungsniederschlagswerte h(n)

Angaben in l / (s ha): Regenspende R(n) mit $R(n) = h(n) \times 1,666667 / D[\text{min}]$

Toleranzbereiche:

+/- 10 % für $1 \text{ a} \leq T \leq 5 \text{ a}$

+/- 15 % für $5 \text{ a} < T \leq 50 \text{ a}$

+/- 20 % für $50 \text{ a} < T \leq 100 \text{ a}$

Datenbasis: KOSTRA-DWD-2010R des Deutschen Wetterdienstes. Die Regenspende wurde auf Basis des Bemessungsniederschlags zur jeweiligen Andauer berechnet.

Für die Richtigkeit und Aktualität der Angaben wird keine Gewähr übernommen. Erstellt 07/2022.

Starkniederschlagshöhen und -spenden gemäß KOSTRA-DWD-2010R

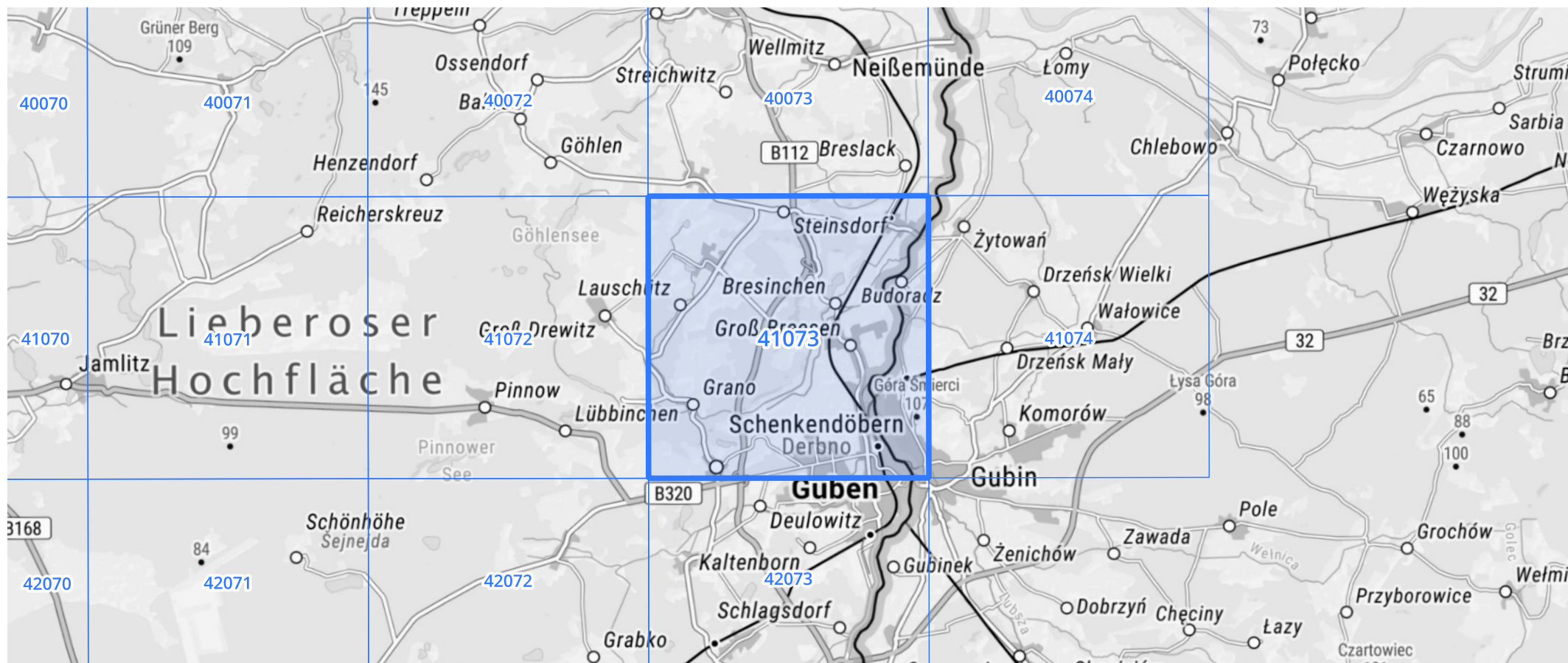
Auswertungszeitraum von 1951 - 2010, Januar - Dezember

Rasterfeld: 41073

Zeile: 41

Spalte: 73

Seite: 2/2



Quelle Rasterdaten: KOSTRA-DWD-2010R des Deutschen Wetterdienstes.

Kartendarstellung: © Bundesamt für Kartographie und Geodäsie (2022), Datenquellen: https://sgx.geodatenzentrum.de/web_public/gdz/datenquellen/Datenquellen_TopPlusOpen.html

Für die Richtigkeit und Aktualität der Angaben wird keine Gewähr übernommen. Erstellt 07/2022.